

Starkniederschlagshöhen und -spenden gemäß KOSTRA-DWD-2020

Rasterfeld 186197

(Zeile 186, Spalte 197)

Regenspende und Bemessungsniederschlagswerte in Abhängigkeit von Wiederkehrzeit T und Dauerstufe D

| Dauerstufe D | | Wiederkehrzeit T | | | | | | | | | | | | | | | | | |
|--------------|-----|------------------|------------|-------|------------|-------|------------|-------|------------|-------|------------|-------|------------|-------|------------|-------|------------|-------|------------|
| | | 1 a | | 2 a | | 3 a | | 5 a | | 10 a | | 20 a | | 30 a | | 50 a | | 100 a | |
| min | Std | mm | l / (s ha) | mm | l / (s ha) | mm | l / (s ha) | mm | l / (s ha) | mm | l / (s ha) | mm | l / (s ha) | mm | l / (s ha) | mm | l / (s ha) | mm | l / (s ha) |
| 5 | | 7,2 | 240,0 | 8,9 | 296,7 | 9,9 | 330,0 | 11,2 | 373,3 | 13,1 | 436,7 | 15,1 | 503,3 | 16,4 | 546,7 | 18,1 | 603,3 | 20,5 | 683,3 |
| 10 | | 9,6 | 160,0 | 11,7 | 195,0 | 13,1 | 218,3 | 14,8 | 246,7 | 17,4 | 290,0 | 20,0 | 333,3 | 21,7 | 361,7 | 24,0 | 400,0 | 27,2 | 453,3 |
| 15 | | 11,1 | 123,3 | 13,6 | 151,1 | 15,2 | 168,9 | 17,2 | 191,1 | 20,1 | 223,3 | 23,2 | 257,8 | 25,2 | 280,0 | 27,8 | 308,9 | 31,5 | 350,0 |
| 20 | | 12,3 | 102,5 | 15,0 | 125,0 | 16,8 | 140,0 | 19,0 | 158,3 | 22,3 | 185,8 | 25,6 | 213,3 | 27,8 | 231,7 | 30,7 | 255,8 | 34,8 | 290,0 |
| 30 | | 14,0 | 77,8 | 17,2 | 95,6 | 19,2 | 106,7 | 21,8 | 121,1 | 25,5 | 141,7 | 29,4 | 163,3 | 31,9 | 177,2 | 35,2 | 195,6 | 39,9 | 221,7 |
| 45 | | 16,0 | 59,3 | 19,7 | 73,0 | 21,9 | 81,1 | 24,9 | 92,2 | 29,1 | 107,8 | 33,5 | 124,1 | 36,4 | 134,8 | 40,1 | 148,5 | 45,5 | 168,5 |
| 60 | 1 | 17,6 | 48,9 | 21,5 | 59,7 | 24,0 | 66,7 | 27,2 | 75,6 | 31,9 | 88,6 | 36,7 | 101,9 | 39,9 | 110,8 | 44,0 | 122,2 | 49,9 | 138,6 |
| 90 | 1,5 | 20,0 | 37,0 | 24,5 | 45,4 | 27,3 | 50,6 | 31,0 | 57,4 | 36,3 | 67,2 | 41,7 | 77,2 | 45,3 | 83,9 | 50,0 | 92,6 | 56,7 | 105,0 |
| 120 | 2 | 21,8 | 30,3 | 26,8 | 37,2 | 29,8 | 41,4 | 33,9 | 47,1 | 39,7 | 55,1 | 45,6 | 63,3 | 49,6 | 68,9 | 54,7 | 76,0 | 62,0 | 86,1 |
| 180 | 3 | 24,8 | 23,0 | 30,4 | 28,1 | 33,8 | 31,3 | 38,4 | 35,6 | 45,0 | 41,7 | 51,7 | 47,9 | 56,2 | 52,0 | 62,0 | 57,4 | 70,3 | 65,1 |
| 240 | 4 | 27,0 | 18,8 | 33,2 | 23,1 | 37,0 | 25,7 | 42,0 | 29,2 | 49,1 | 34,1 | 56,5 | 39,2 | 61,4 | 42,6 | 67,7 | 47,0 | 76,8 | 53,3 |
| 360 | 6 | 30,6 | 14,2 | 37,6 | 17,4 | 41,9 | 19,4 | 47,5 | 22,0 | 55,6 | 25,7 | 64,0 | 29,6 | 69,5 | 32,2 | 76,7 | 35,5 | 87,0 | 40,3 |
| 540 | 9 | 34,7 | 10,7 | 42,5 | 13,1 | 47,4 | 14,6 | 53,8 | 16,6 | 63,0 | 19,4 | 72,5 | 22,4 | 78,7 | 24,3 | 86,8 | 26,8 | 98,5 | 30,4 |
| 720 | 12 | 37,9 | 8,8 | 46,4 | 10,7 | 51,7 | 12,0 | 58,7 | 13,6 | 68,8 | 15,9 | 79,1 | 18,3 | 85,9 | 19,9 | 94,8 | 21,9 | 107,5 | 24,9 |
| 1080 | 18 | 42,8 | 6,6 | 52,5 | 8,1 | 58,6 | 9,0 | 66,5 | 10,3 | 77,8 | 12,0 | 89,5 | 13,8 | 97,2 | 15,0 | 107,3 | 16,6 | 121,7 | 18,8 |
| 1440 | 24 | 46,8 | 5,4 | 57,4 | 6,6 | 63,9 | 7,4 | 72,5 | 8,4 | 85,0 | 9,8 | 97,8 | 11,3 | 106,1 | 12,3 | 117,1 | 13,6 | 132,9 | 15,4 |
| 2880 | 48 | 57,8 | 3,3 | 70,8 | 4,1 | 78,9 | 4,6 | 89,6 | 5,2 | 104,9 | 6,1 | 120,7 | 7,0 | 131,1 | 7,6 | 144,6 | 8,4 | 164,1 | 9,5 |
| 4320 | 72 | 65,3 | 2,5 | 80,1 | 3,1 | 89,3 | 3,4 | 101,3 | 3,9 | 118,7 | 4,6 | 136,6 | 5,3 | 148,3 | 5,7 | 163,6 | 6,3 | 185,6 | 7,2 |
| 5760 | 96 | 71,3 | 2,1 | 87,5 | 2,5 | 97,5 | 2,8 | 110,6 | 3,2 | 129,5 | 3,7 | 149,1 | 4,3 | 161,8 | 4,7 | 178,6 | 5,2 | 202,6 | 5,9 |
| 7200 | 120 | 76,3 | 1,8 | 93,6 | 2,2 | 104,3 | 2,4 | 118,4 | 2,7 | 138,6 | 3,2 | 159,5 | 3,7 | 173,2 | 4,0 | 191,1 | 4,4 | 216,8 | 5,0 |
| 8640 | 144 | 80,7 | 1,6 | 99,0 | 1,9 | 110,3 | 2,1 | 125,1 | 2,4 | 146,5 | 2,8 | 168,6 | 3,3 | 183,1 | 3,5 | 202,0 | 3,9 | 229,2 | 4,4 |
| 10080 | 168 | 84,5 | 1,4 | 103,7 | 1,7 | 115,6 | 1,9 | 131,1 | 2,2 | 153,6 | 2,5 | 176,7 | 2,9 | 191,9 | 3,2 | 211,7 | 3,5 | 240,2 | 4,0 |

Starkniederschlagshöhen und -spenden gemäß KOSTRA-DWD-2020

Rasterfeld 186197

(Zeile 186, Spalte 197)

Örtliche Unsicherheiten in Abhängigkeit von Wiederkehrzeit T und Dauerstufe D

| Dauerstufe D | | Wiederkehrzeit T | | | | | | | | |
|--------------|-----|------------------|-----|-----|-----|------|------|------|------|-------|
| | | 1 a | 2 a | 3 a | 5 a | 10 a | 20 a | 30 a | 50 a | 100 a |
| min | Std | ± % | ± % | ± % | ± % | ± % | ± % | ± % | ± % | ± % |
| 5 | | 20 | 21 | 22 | 22 | 23 | 24 | 24 | 24 | 25 |
| 10 | | 23 | 24 | 25 | 26 | 27 | 27 | 28 | 28 | 29 |
| 15 | | 24 | 25 | 26 | 27 | 28 | 29 | 29 | 30 | 30 |
| 20 | | 24 | 26 | 27 | 28 | 29 | 29 | 30 | 30 | 31 |
| 30 | | 24 | 26 | 27 | 28 | 29 | 29 | 30 | 30 | 31 |
| 45 | | 24 | 25 | 26 | 27 | 28 | 29 | 29 | 30 | 30 |
| 60 | 1 | 23 | 24 | 25 | 26 | 27 | 28 | 28 | 29 | 29 |
| 90 | 1,5 | 21 | 23 | 24 | 25 | 26 | 26 | 27 | 27 | 28 |
| 120 | 2 | 20 | 22 | 23 | 24 | 25 | 25 | 26 | 26 | 27 |
| 180 | 3 | 19 | 20 | 21 | 22 | 23 | 24 | 24 | 24 | 25 |
| 240 | 4 | 18 | 19 | 20 | 21 | 22 | 23 | 23 | 23 | 24 |
| 360 | 6 | 17 | 18 | 19 | 20 | 20 | 21 | 21 | 22 | 22 |
| 540 | 9 | 17 | 18 | 18 | 19 | 19 | 20 | 20 | 21 | 21 |
| 720 | 12 | 17 | 17 | 18 | 18 | 19 | 19 | 20 | 20 | 21 |
| 1080 | 18 | 17 | 18 | 18 | 18 | 19 | 19 | 19 | 20 | 20 |
| 1440 | 24 | 18 | 18 | 18 | 19 | 19 | 19 | 20 | 20 | 20 |
| 2880 | 48 | 21 | 21 | 21 | 21 | 21 | 21 | 21 | 21 | 21 |
| 4320 | 72 | 24 | 23 | 23 | 22 | 22 | 22 | 22 | 23 | 23 |
| 5760 | 96 | 25 | 25 | 24 | 24 | 24 | 24 | 24 | 24 | 24 |
| 7200 | 120 | 27 | 26 | 26 | 25 | 25 | 25 | 25 | 25 | 25 |
| 8640 | 144 | 28 | 27 | 27 | 27 | 26 | 26 | 26 | 26 | 26 |
| 10080 | 168 | 29 | 28 | 28 | 28 | 27 | 27 | 27 | 27 | 27 |

Parameter für abweichende T und D

Lokationsparameter ξ (Xi)

17,81749625

Skalenparameter α (Alpha)

5,60896803

Formparameter κ (Kappa)

-0,1

1. Koutsoyiannis-Parameter θ (Theta)

0,01941273

2. Koutsoyiannis-Parameter η (Eta)

0,69595548

Parameter für dauerstufenübergreifende Extremwertschätzung nach KOUTSOYIANNIS et al. 1998.

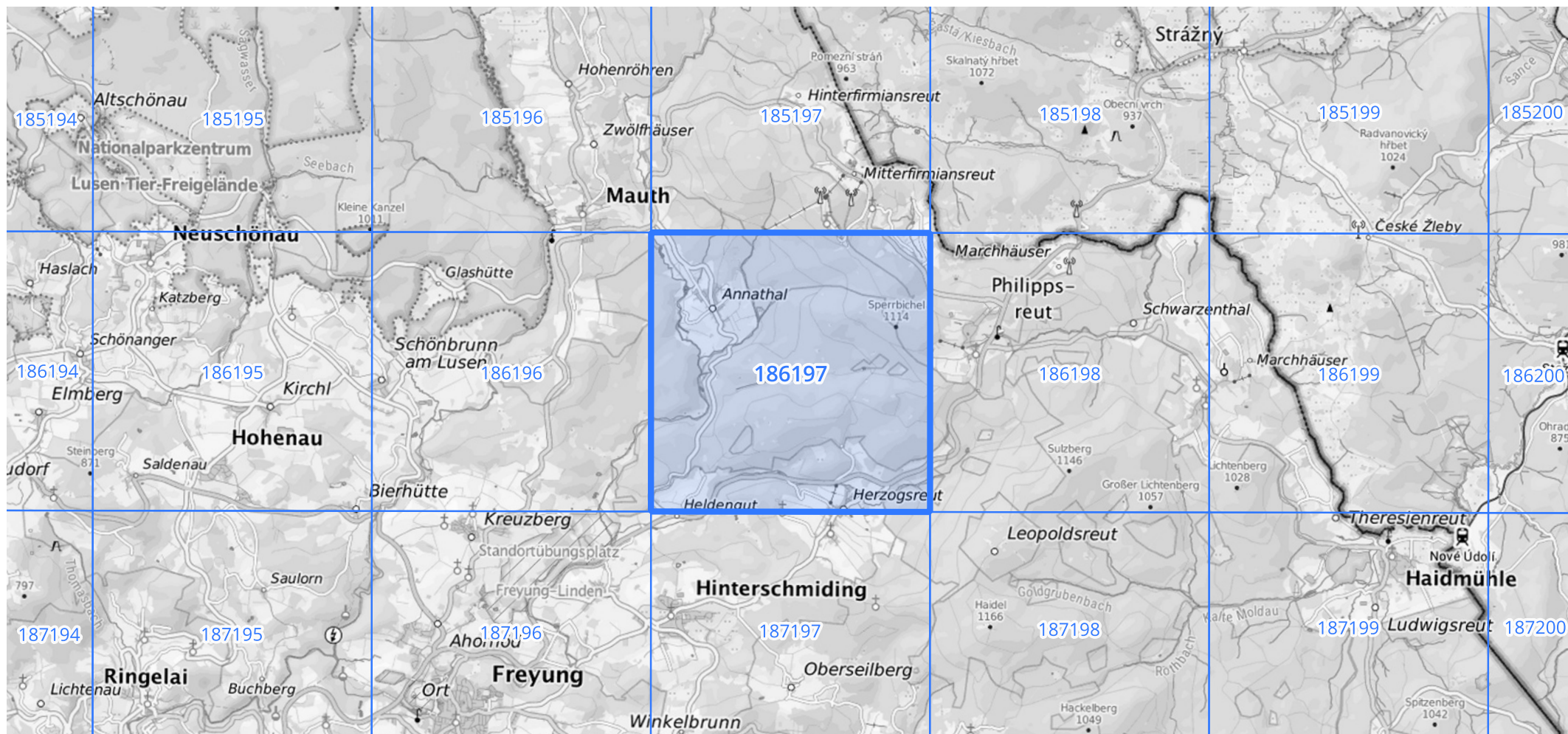
Siehe auch Anwendungshilfe zu KOSTRA-DWD-2020 des Deutschen Wetterdienstes.

Starkniederschlagshöhen und -spenden gemäß KOSTRA-DWD-2020

Rasterfeld 186197

(Zeile 186, Spalte 197)

Übersichtskarte des Rasterfeldes 186197, M 1 : 100 000



Quelle Rasterdaten: KOSTRA-DWD-2020 des Deutschen Wetterdienstes, Stand 12/2022.

Seite 3 von 3

Kartendarstellung: © Bundesamt für Kartographie und Geodäsie (2023), Datenquellen: https://sgx.geodatenzentrum.de/web_public/gdz/datenquellen/Datenquellen_TopPlusOpen.html

Für die Richtigkeit und Aktualität der Angaben wird keine Gewähr übernommen. Erstellt 01/2023.